

# 地球近傍微小ダスト

*Near Earth Small Meteoroids*

阿部 新助 ([avell@kobe-u.ac.jp](mailto:avell@kobe-u.ac.jp))

神戸大学 大学院理学研究科 地球惑星科学専攻

惑星科学研究センター(CPS: Center for Planetary Science)

小研究会「流星とダスト計測 (第1回)」@国立天文台

2007/07/03

# Source of Meteoroids

- Stream Meteoroids “流星群”
- Sporadic Meteoroids “散在”

## Source of Sporadic

- Interplanetary dusts; 短周期彗星, エンケ彗星, 小惑星(衝突破碎dust)
- Interstellar dust; 对地速度72km/s以上, dust直径40 $\mu$ m?, flux?

It is evident that sporadic meteors exhibit diurnal and seasonal variations in their activity.

Sporadic radiants were initially distributed isotropically, but appear to be concentrated about the apex of the Earth because of the Earth's orbital motion.

The seasonal variation of sporadic meteors in the strength of the apparent maxima of the helion and antihelion sources shows asymmetric features during certain periods.

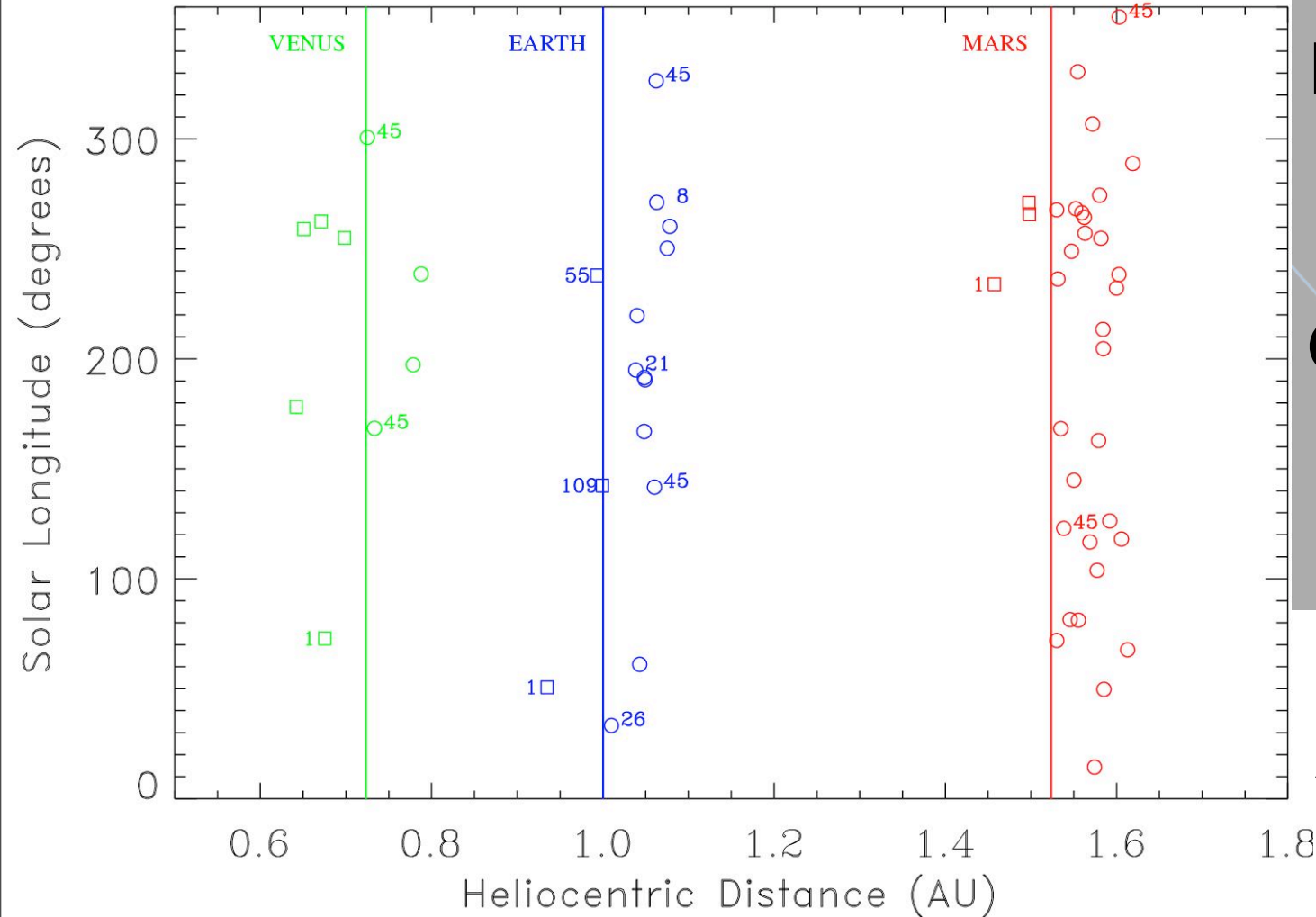
# Stream Meteoroids

Source; planet-approaching comets

金星

地球

火星



□ : Halley Type Comets

- high speed; > 25 km/s
- strong annual activity
- outbursts

○ : Jupiter Family Comets

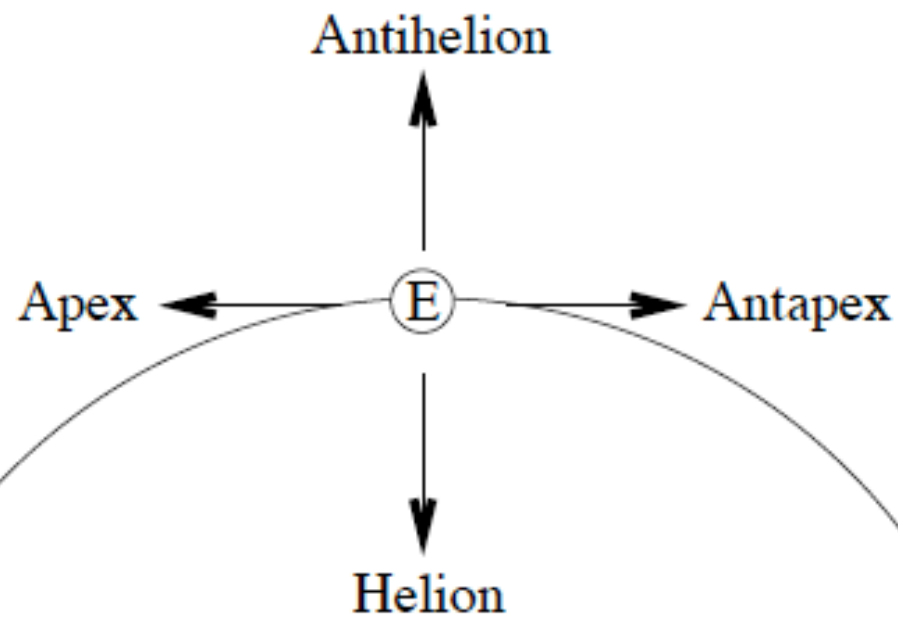
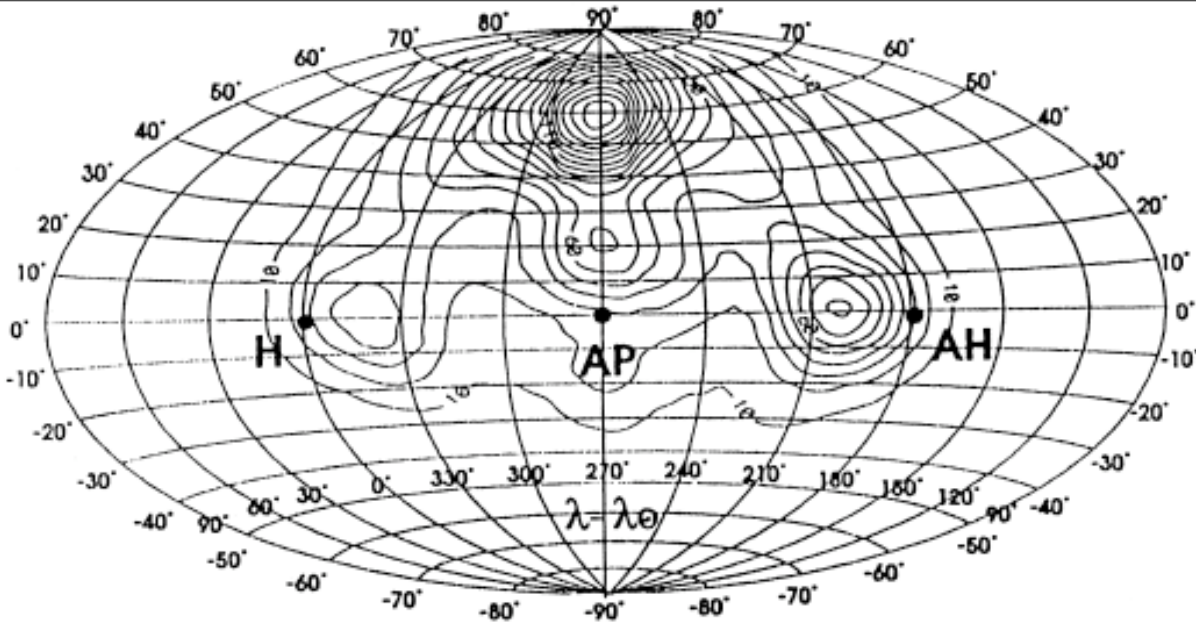
- low speed; > 25 km/s
- weak annual activity
- outbursts

流星群発生の条件

$$\Delta < 0.1 \text{ AU}$$

- ★ the contribution from JFCs is an increasing function of heliocentric distance roughly similar numbers of HTC's at the three planets
- ★ two "hat trick" comets: 1P/Halley and 45P/Honda-Mrkos-Pajdusáková

Beech, MNRAS, 1998,  
Christou & Beurle, P&SS, 1999,  
Treiman & Treiman 2000,  
Larson, AJ, 2001,  
Christou, Icarus, 2004,  
Selsis et al, A&A, 2004



**Apex(地球向点)** 15-28%

Halley-type comets  
Long-period comets

Source: 南北15° Apex sources  
 $V \sim 45-72 \text{ km/s}$ ,  $V_{\text{mean}} = 62 \text{ km/s}$

**Antihelion(反太陽方向)**

**Helion(太陽方向)** 30-40%

Jupiter-family comets  
Appolo-type asteroids

Source:  $\pm 70^\circ$  from the Apex  
 $V \sim 11-45 \text{ km/s}$ ,  $V_{\text{mean}} = 20 \text{ km/s}$   
daily motion  $\sim 1^\circ/\text{day}$

Ecliptic showers(黄道流星群, Zodiac)  
北半球の場合: HR  $\sim 15/\text{hr}$  in fall,  
HR  $\sim 5/\text{hr}$  in spring

**N-S-Troidal** 3-6%

N-S Source:  $\pm 67^\circ$  latitude  
 $a \sim 1.0 \text{ AU}$ ,  $e \sim 0.3$ , 順行軌道  
 $V_{\text{mean}} \sim 24-42 \text{ km/s}$ ?, JFCの進化天体?

**Variations of Sporadic Meteors and Radiant Distribution**

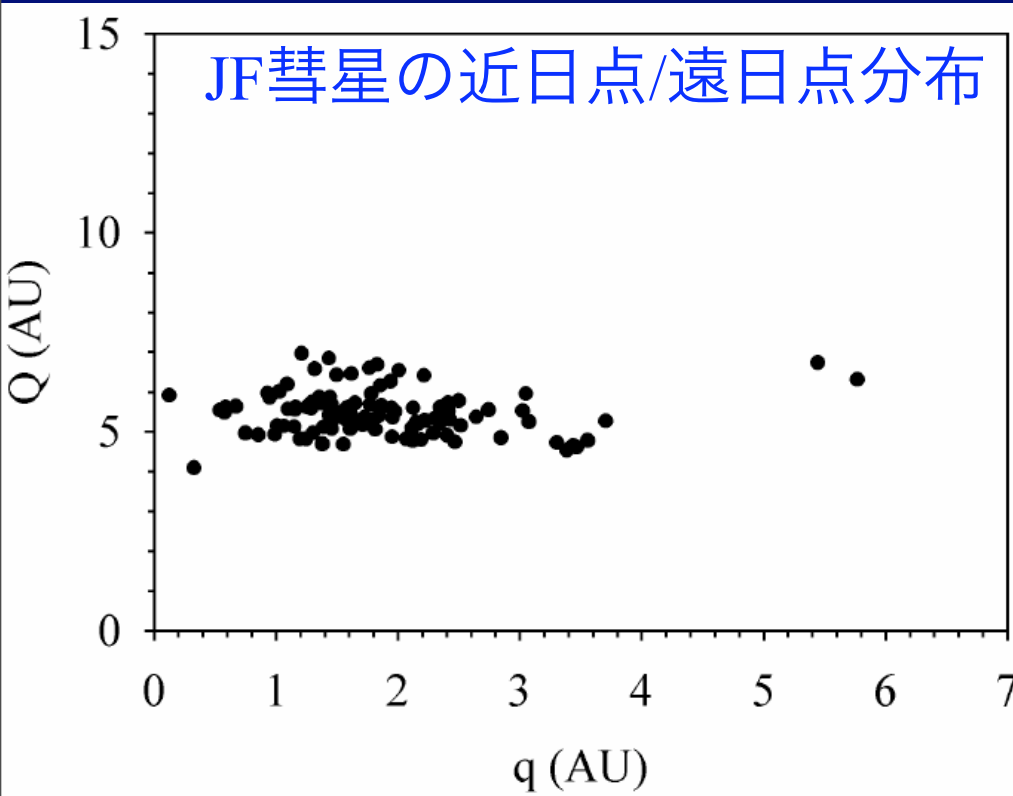
Contours of apparent density of meteor radiants from the combined Harvard (upper plot) and Adelaide (lower plot) radio surveys (Jones and Brown, 1994).

H denotes the position of the Sun, AP the Earth's apex and AH the antihelion point.



# Production rate of cometary meteoroids

Comet group	% of total
Jupiter family	91
Halley family	5
Long period	4



彗星起源ダスト供給源は $Q < 7 \text{ AU}$ のJF彗星である。

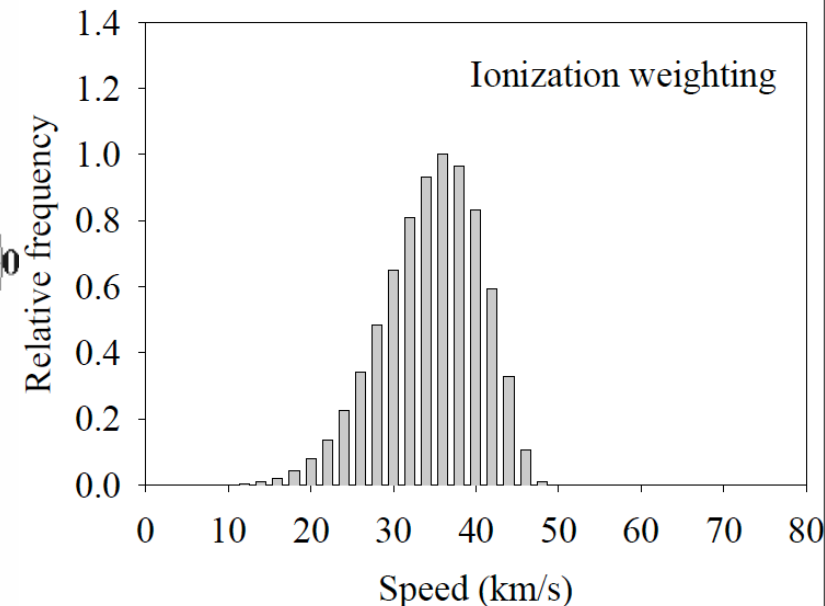
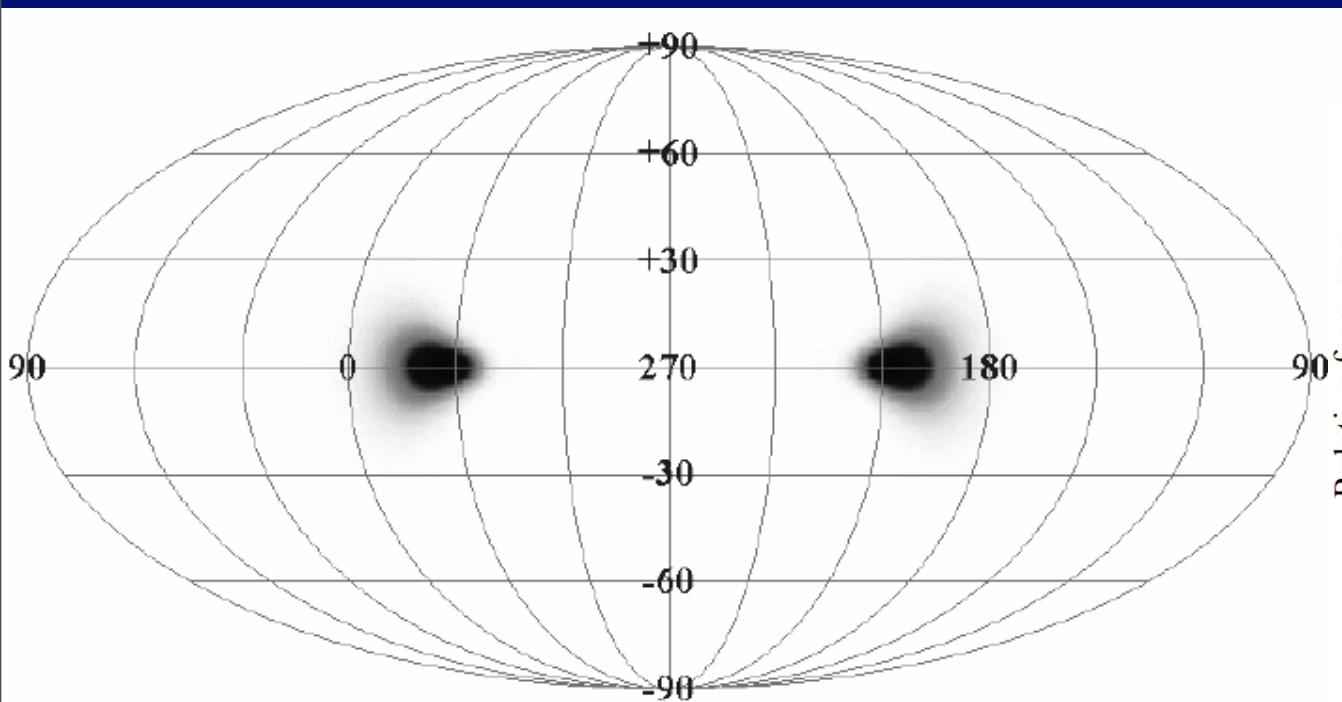
Parameter	Mean	Standard deviation
Perihelion distance	1.85	0.90
Aphelion distance	5.47	0.56
Inclination	14.2	10.0
Tisserand parameter	2.80	0.17

# Activity of short period cometary meteoroids

	HRMP	CMOR (2003)
Helion long.	341 – 345 deg	338 deg
Antihelion long.	193 – 201 deg	202 deg
$\langle V_g \rangle$	31.7 km/s	34.4 km/s

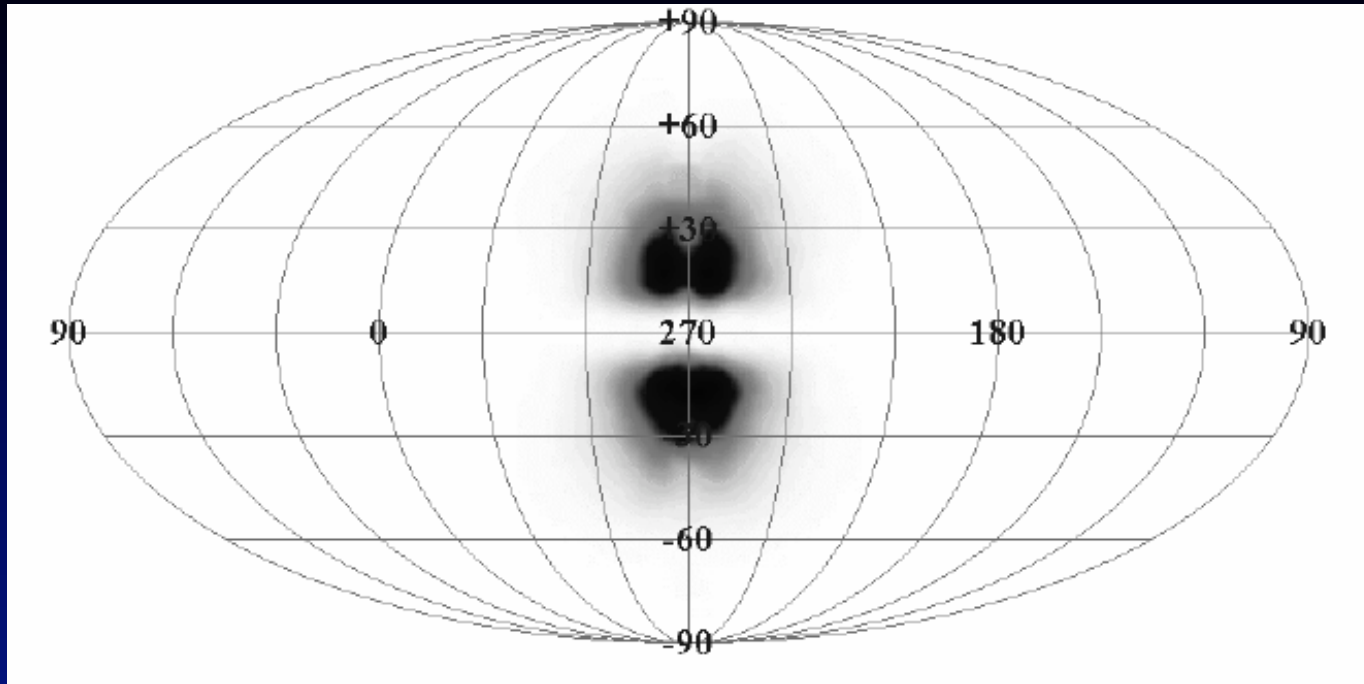
HRMP: Harvard Radio Meteor Project (Sekanina, 1967, Lindblad, 1987)

CMOR: Canadian Meteor Orbit Radar (Campbell-Brown&Jones, 2003)

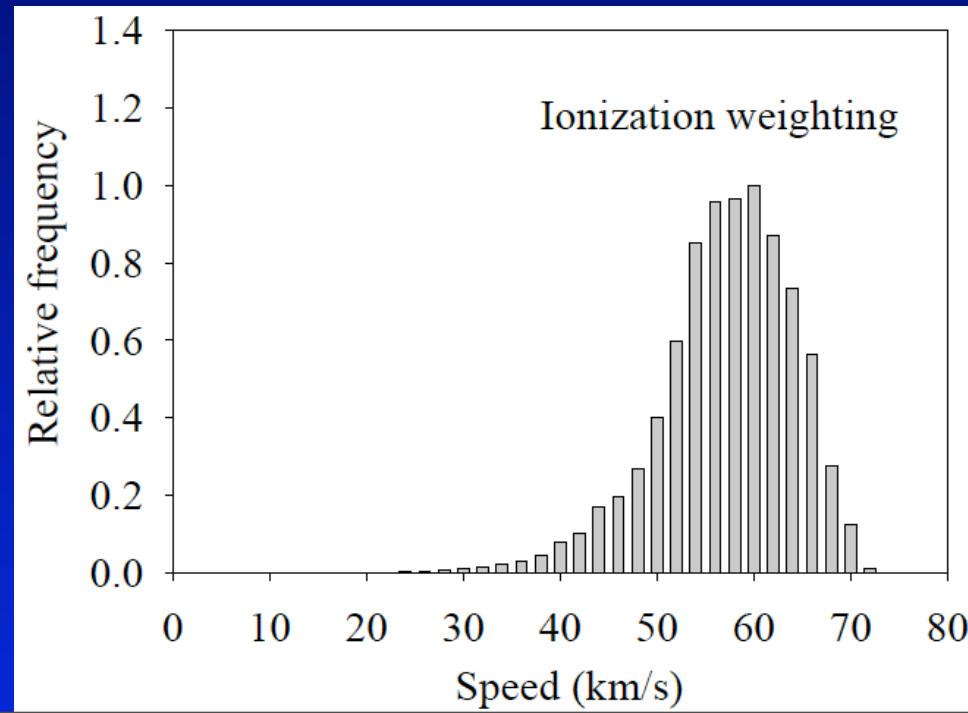


短周期彗星起源meteoroidsの輻射点分布

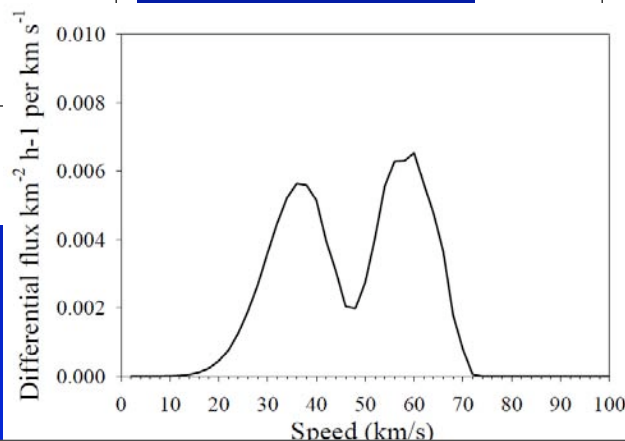
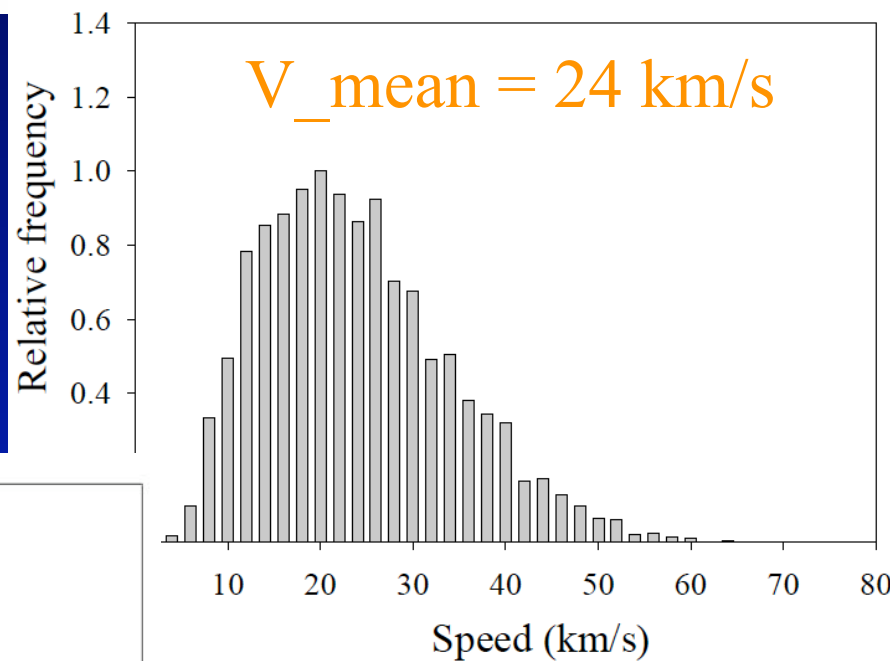
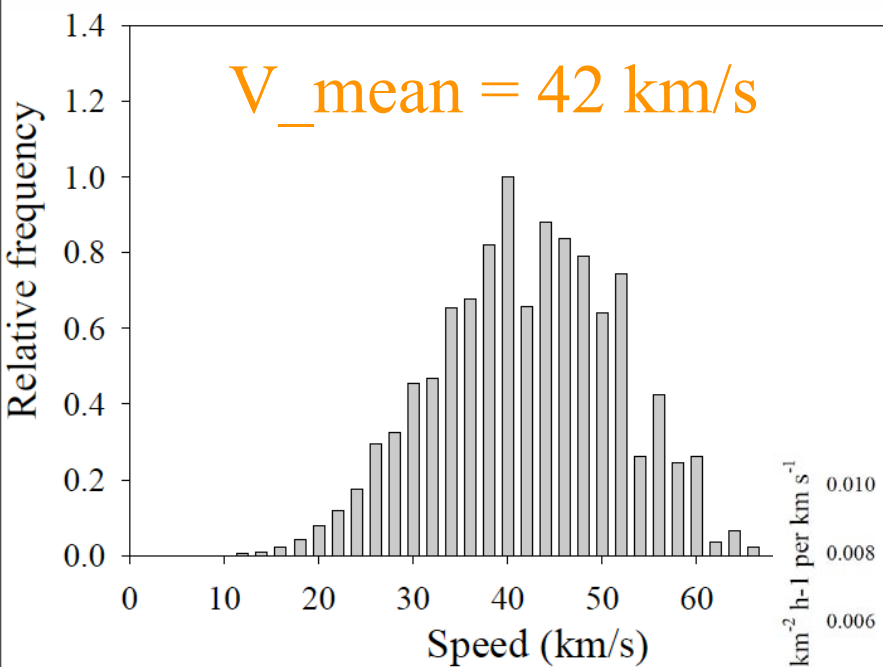
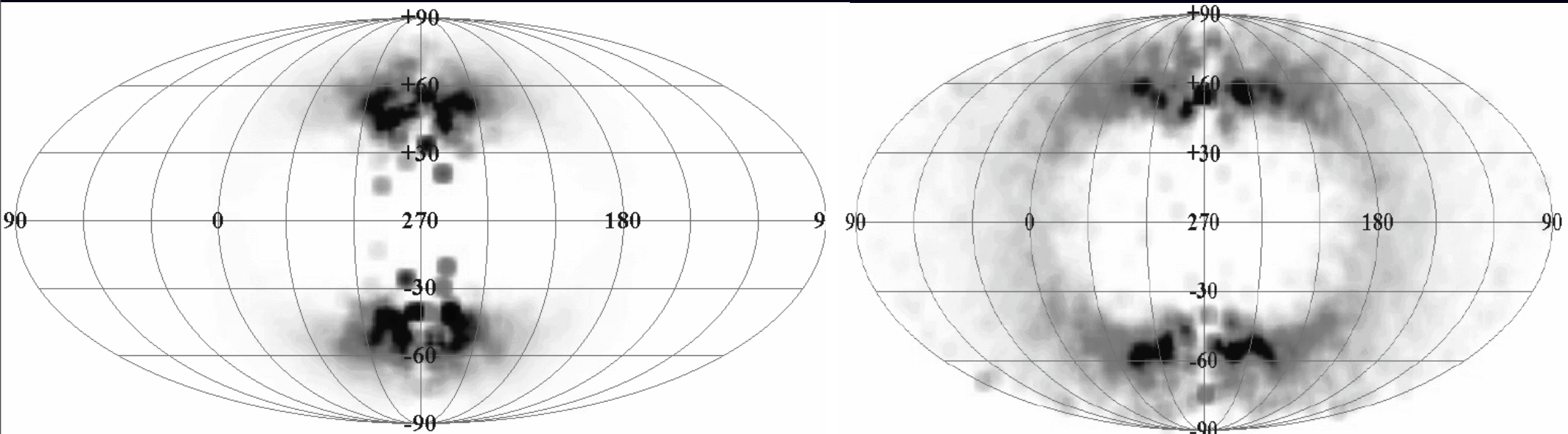
# Activity of long period cometary meteoroids



長周期彗星起源meteoroidsの輻射点分布

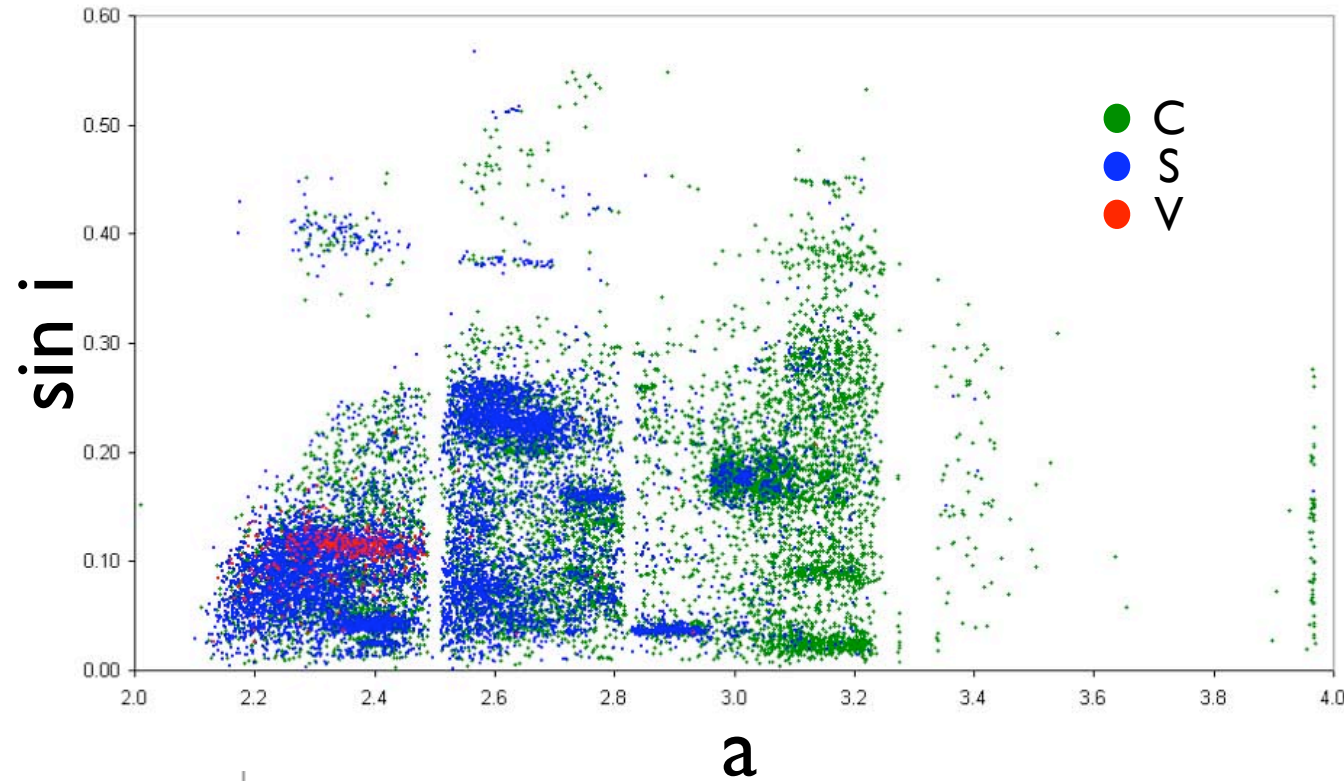
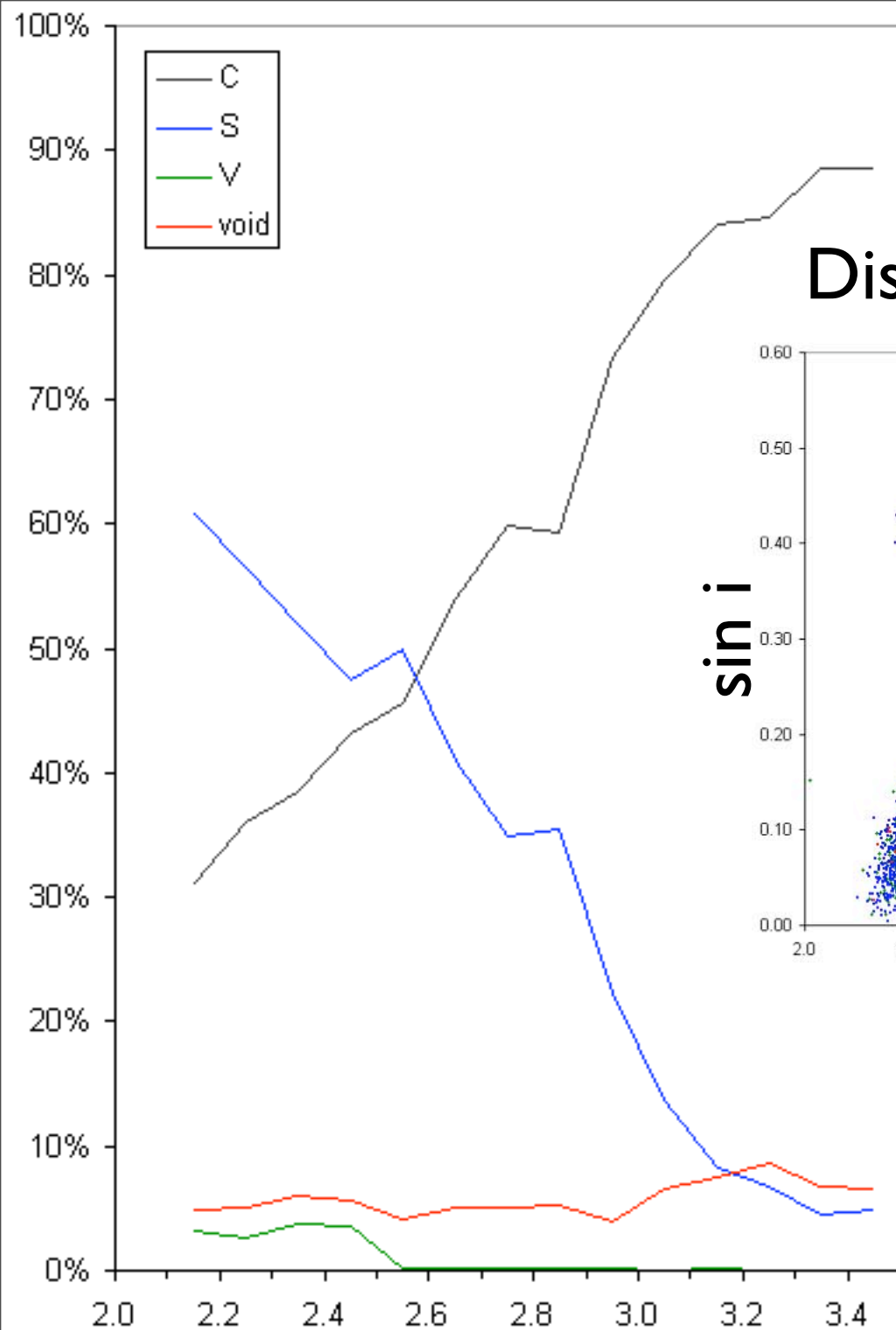


# Toroidal source





# Distribution of asteroid taxonomy



C; carbonaceous chondrites, outer region  
S; ordinary chondrites, inner region  
V; HED meteorites, around 2.3AU

小惑星起源のダスト

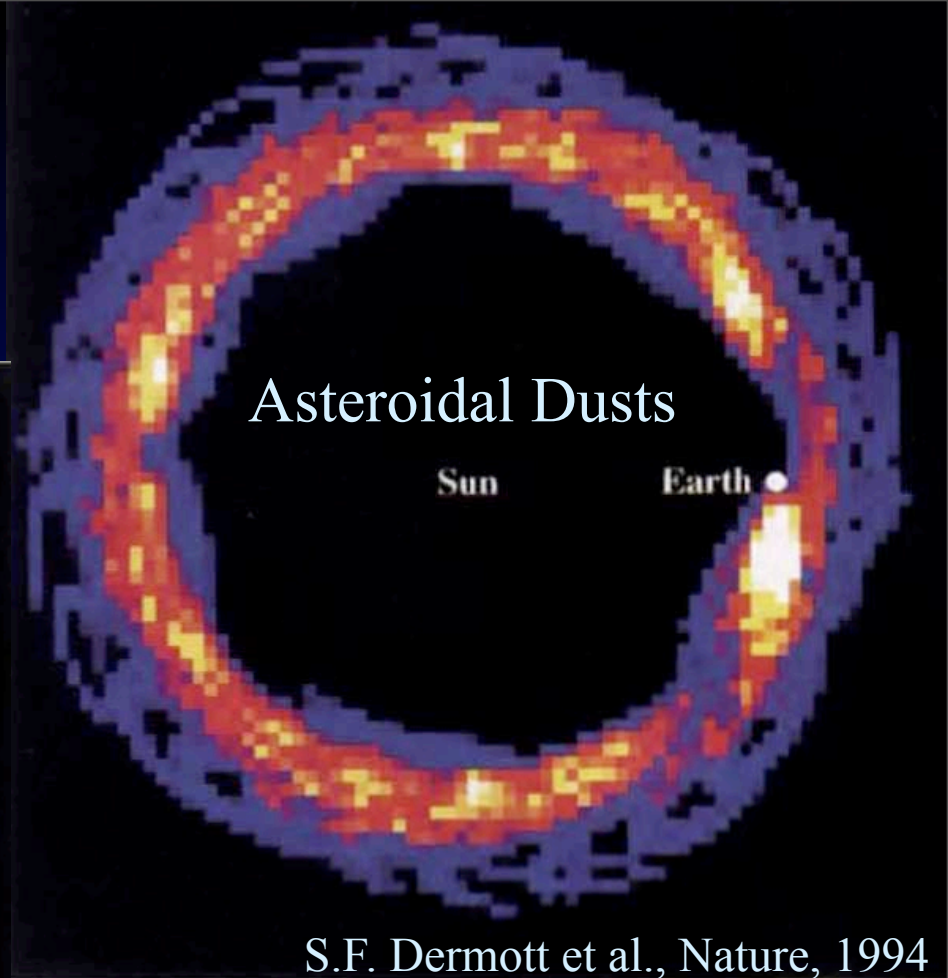
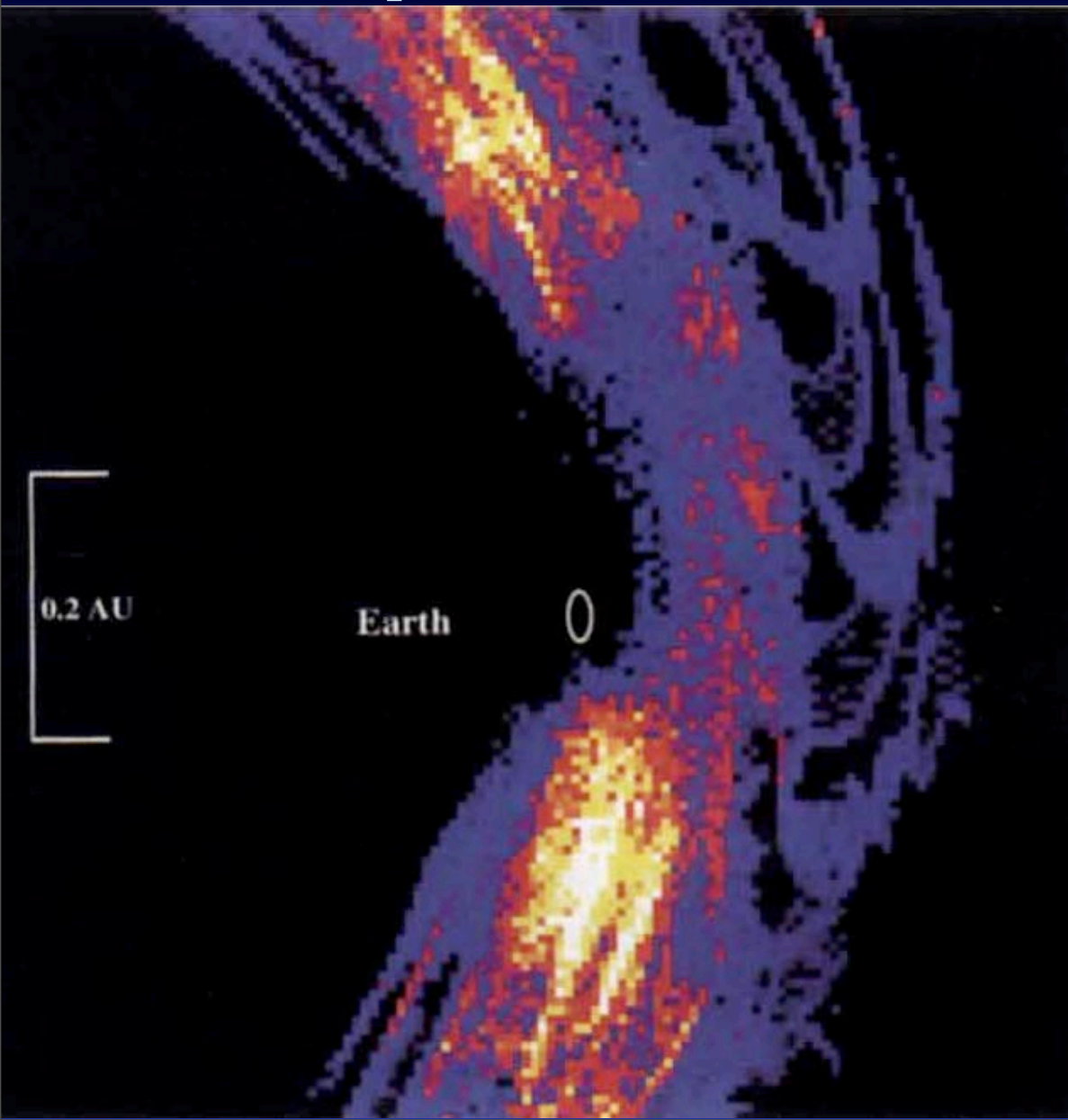
# 小惑星イトカワ





## Circumsolar ring 検出可能性

20% of  $12\mu\text{m}$  asteroidal dust particles ( $\beta=0.37$ ) trapped in resonance(3:4-17:18).  
Carbonaceous particles are dominant.



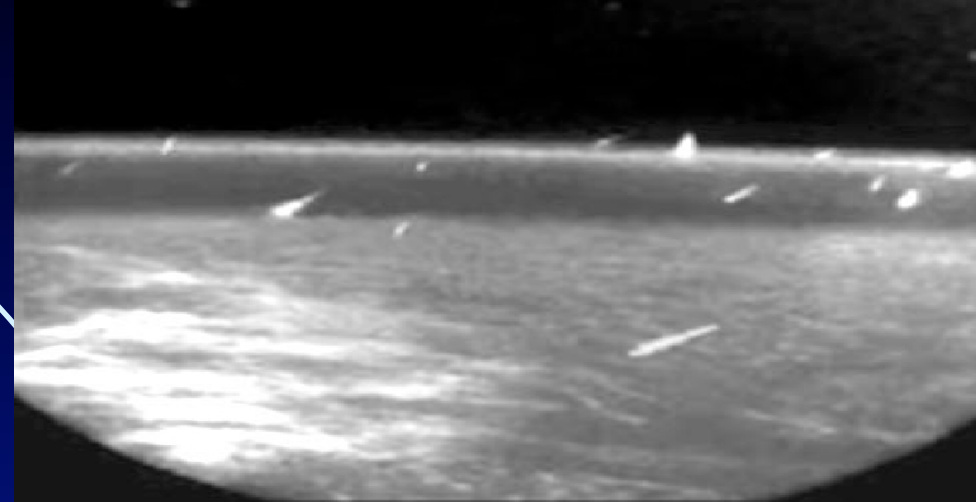
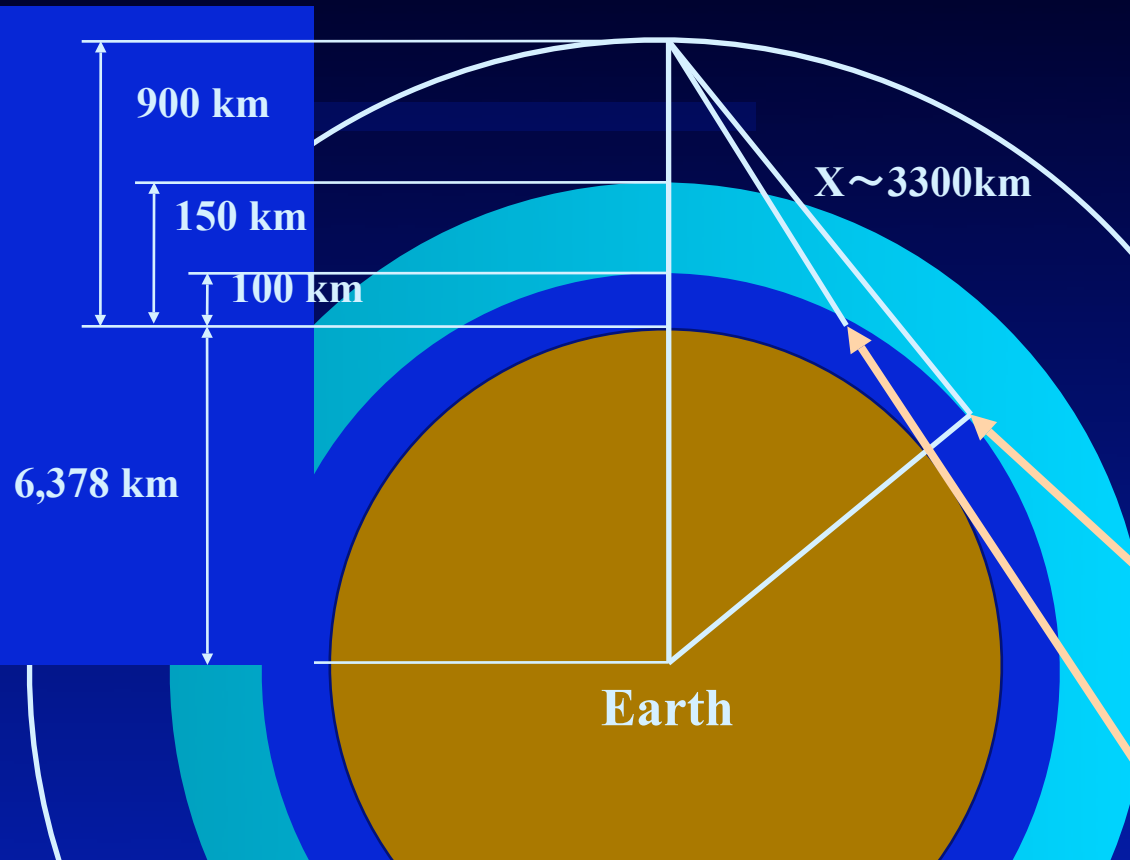
ダストに働く”Drag forces”

- ◆ Light Pressure
- ◆ Poynting-Robertson
- ◆ Solar Wind

# Meteor observation from LEO

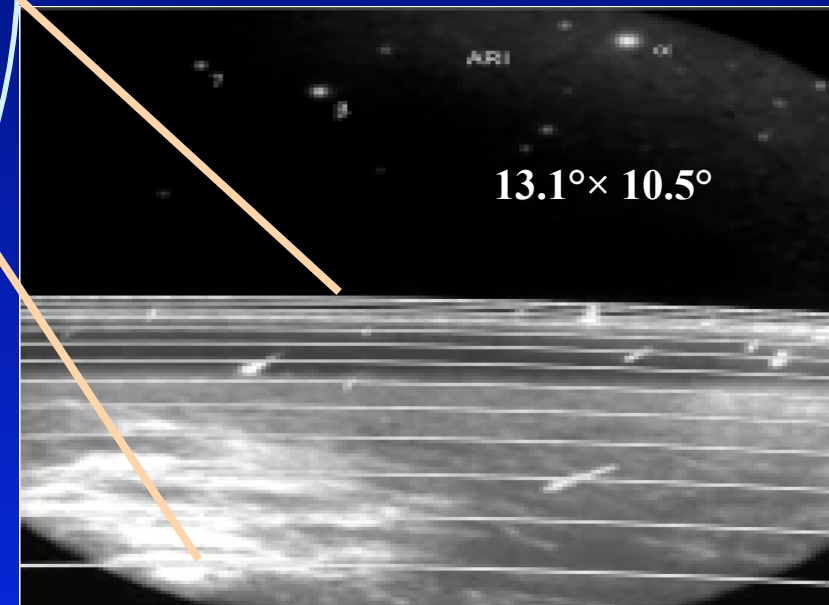
## Distance of Horizon at each altitude

1997 Leonids observed by MSX under full Moon.  
40min composed image (Jenniskens, et al., 2000)



MSX image of 1997 Leonids

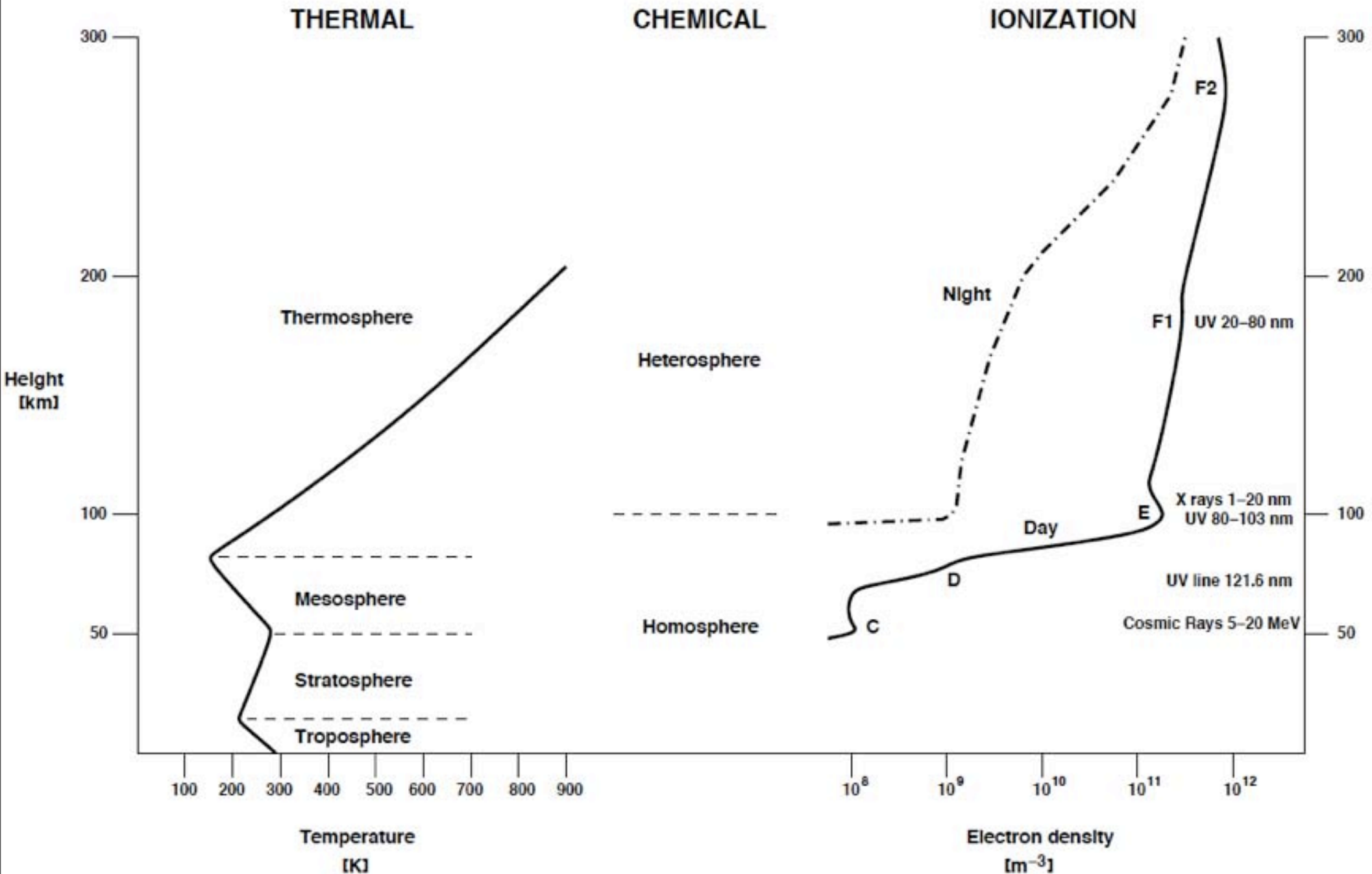
P. Jenniskens et al., 2000



	altitude (km)	distance (km)
<b>Leonid MAC</b>	<b>10</b>	<b>1100</b>
<b>ISS</b>	<b>400</b>	<b>2000</b>
<b>MSX</b>	<b>900</b>	<b>3300</b>

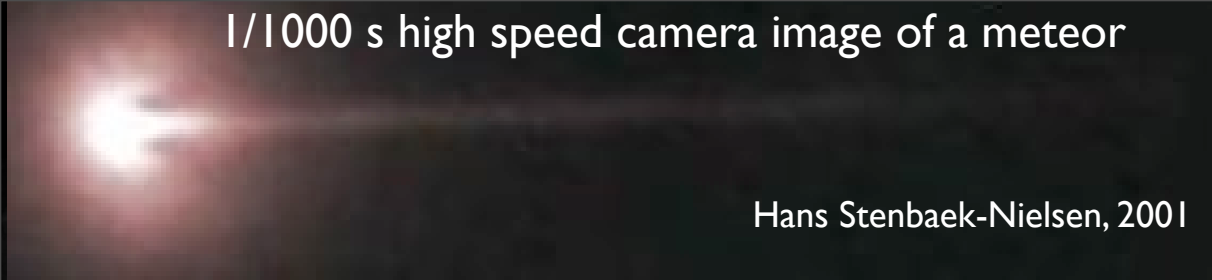
# 地球大気の種類

## CLASSIFICATION

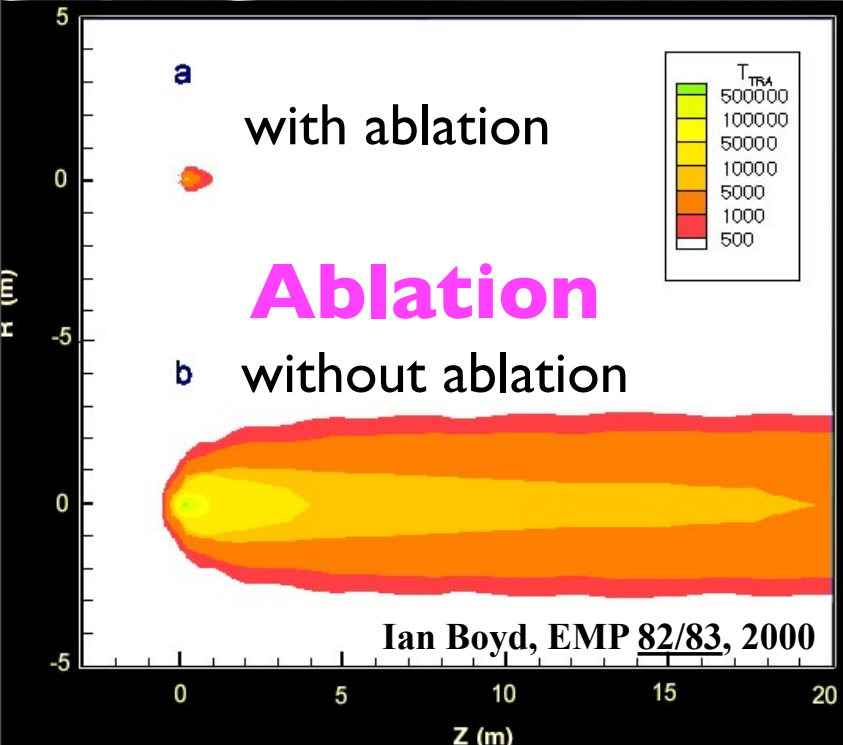




1/1000 s high speed camera image of a meteor



Hans Stenbaek-Nielsen, 2001



The term *ablation* has the meaning of mass loss of a meteoroid in any form and phase: solid as fragments, fluid as droplets and loss of hot gas, which forms always the final stage and is responsible for the observed meteor phenomenon.

Trains with duration up to 3 s are produced by the forbidden auroral line of neutral oxygen at 557.7 nm.

temperature in meteor plasma

**Fe I, Mg I, Ca I, Na I ... Main component (~4,500 K)**

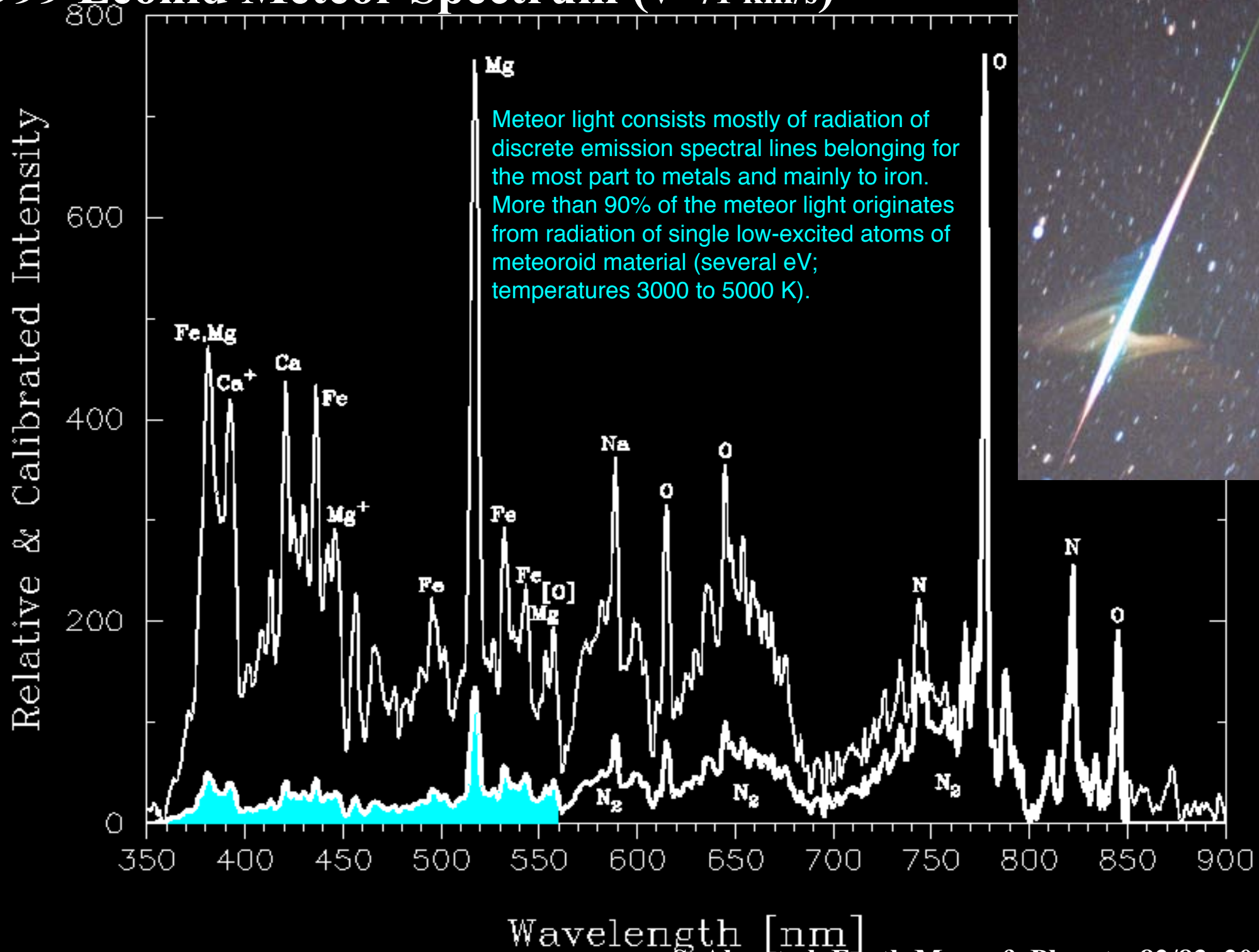
**Ca II, Mg II, Fe II ..... 2<sup>nd</sup> component (~10,000 K)**

Jiří Borovička (1993)

**1999 Leonid Meteor Storm, Leonid MAC, 4,000 hr<sup>-1</sup> at 02:02 UT on November 18, 1999.**

**Yano, Abe, NHK, NASA**

# 1999 Leonid Meteor Spectrum (V=71 km/s)

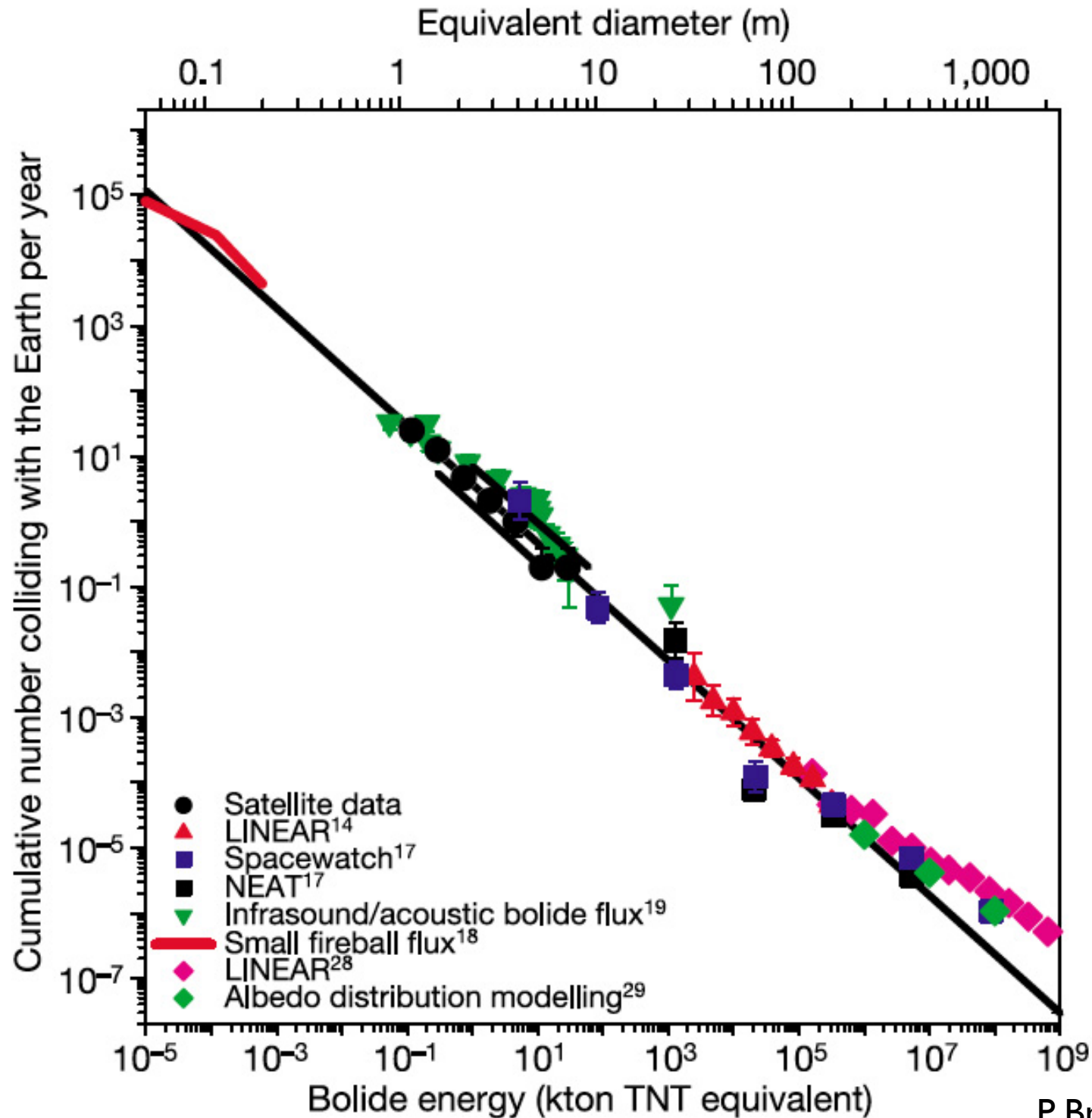


# Interplanetary Dust Models

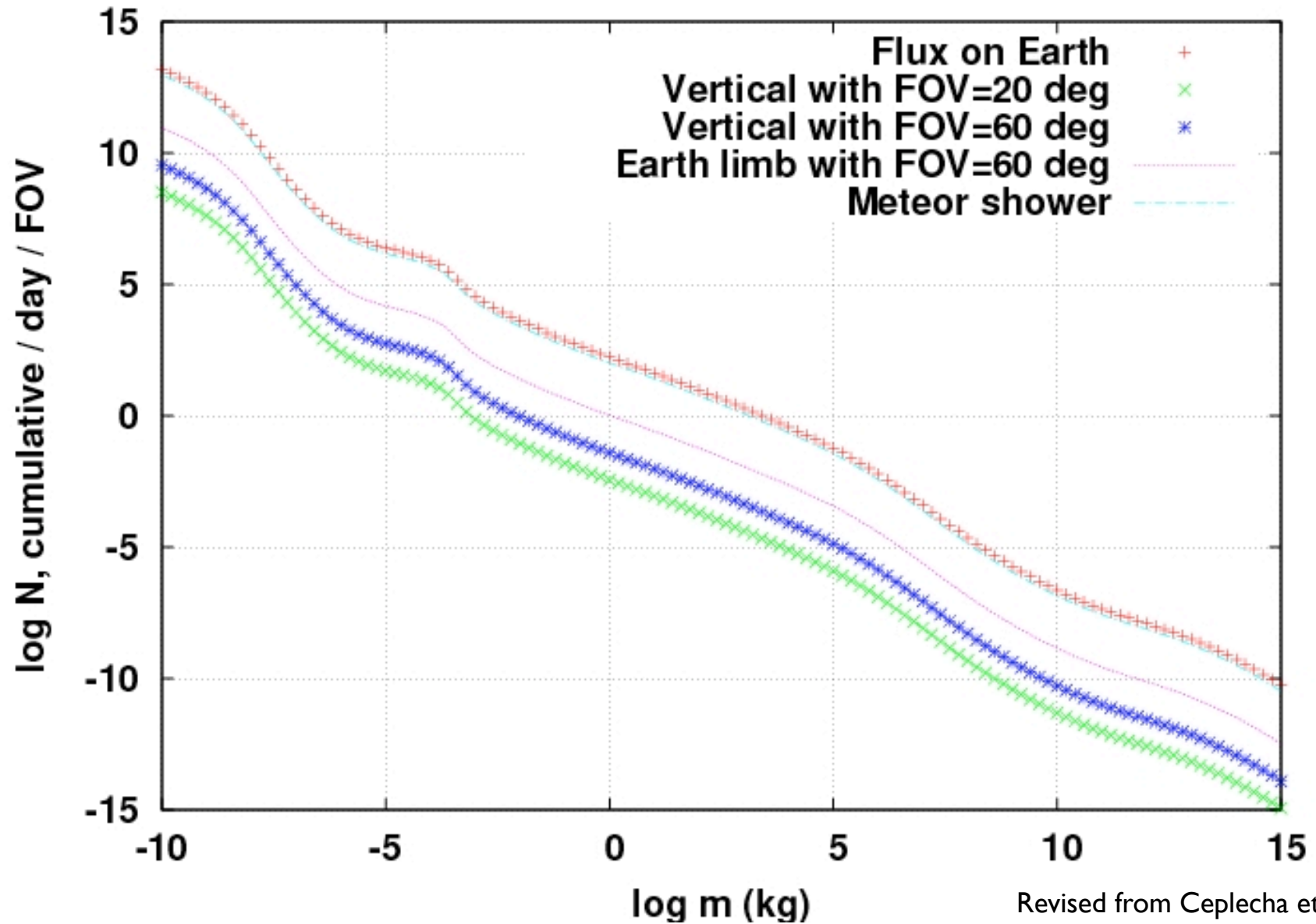
- 地球回りの単純化した”Interplanetary Dust Model”, 軌道(方向)情報なし; Grün, Zook, Fechtig and Giese (1985)
- 軌道分布を考慮した“Interplanetary dust complex”, 黄道光, impact dataや電波流星をコンパイル; Divine (1993)
- Divine's modelの問題点(速度分布のバイアス除去)を改良; Taylor (1995)
- Taylor(1995) modelを更に単純化; Garret, Drouilhet, Oliver and Evans (1999), Jehn (2000)



# 地球近傍巨大ダストの分布



# ISSから観測される1日当りのメテオロイド



石質流星体が突入速度40km/s, 突入角45度で石質の流星が高度100kmで発光すると仮定

The interplanetary dust component of the influx is  $4 \times 10^6$  kg per year per Earth,  
about 17% of the influx originates in the interplanetary dust.

about 83% in bodies mostly inside a mass range of  $10^5$  to  $10^8$  kg (10 to 100 m sizes).

Atmospheric penetration of meter and ten meter size bodies can be regularly and globally observed by satellites.



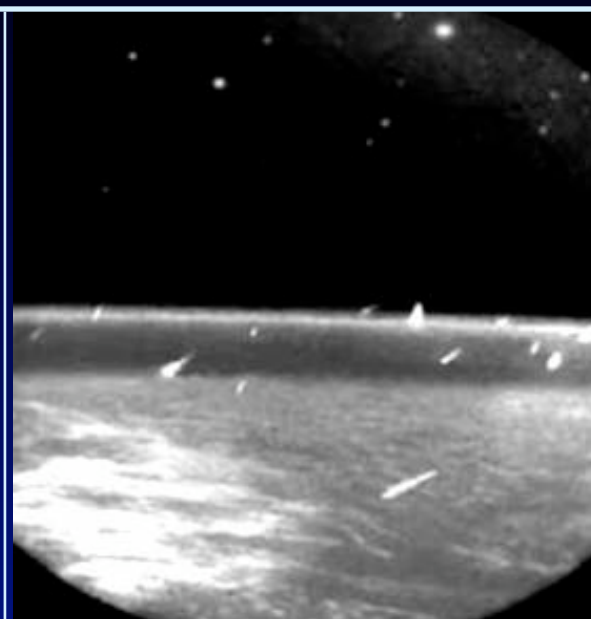
# 「きぼう」船外プラットフォームからの流星の観測

## ISSメテオ・ウォッチャー

JAXA「きぼう」船外実験プラットフォーム第2期利用候補ミッションの公募（不採択）



本研究チームが地中海上空よりHDTVにて撮影した  
1999年しし座流星雨



米国の軍事衛星MSXから撮影された  
1997年しし座流星群



我々の提案によりロシアの宇宙飛行士が  
ISSから撮影した流星群映像

TCR 09:55.55:04  
CTL 23:59:50:07  
2001しし群 by HDTV(旧NASDA提供)

### (1) ミッション名

メテオ・ウォッチャー (Meteor Watcher)

### (2) 組織名

神戸大学／国立天文台／理研／甲南大／**JAXA**／高知工科大、  
**DLR**／**ESA**

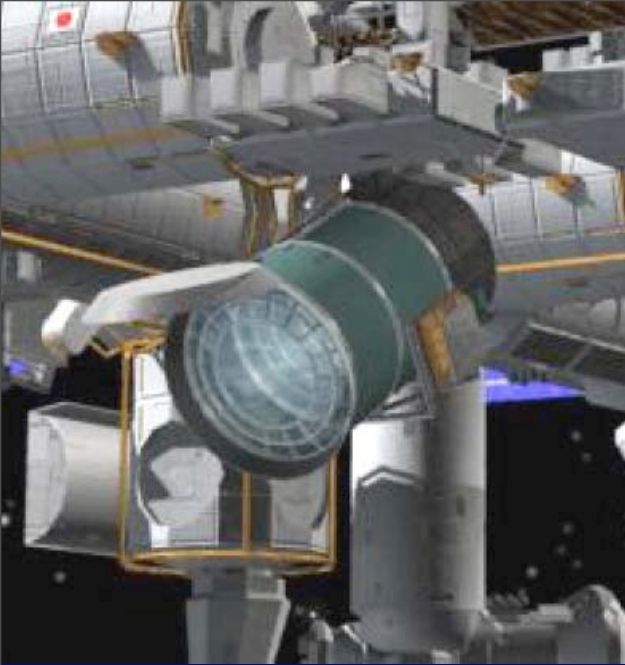
### (3) 代表研究者名・所属・職名

阿部新助・神戸大学理学研究科地球惑星科学専攻・助教

### (4) ポート利用形態

ポート共有利用

日常的に発生する流星現象を、非日常的な宇宙から観察することで、地球が巨大な望遠鏡の役割を演じているということをもっと多くの人々に認識してもらい、改めて地球という存在を意識してもらおうという大きな意義が、我々が提案する「メテオ・ウォッチャー」に込められている。



# JEM-EUSO



## *Extreme Universe Space Observatory*

- -2005; EUSO was originally planned to be deployed by ESA
- 2005 Oct@ESTEC; Original plan was canceled because of changing situation of ESA's budget.
- 2006; Phase-A (JEM-EUSO WG) collaborating with **Italy, France, Switzerland, Germany, Portugal, Spain, Japan, USA, Brazil**, *I'm involved as a meteor analyst*
- 2007-2008; Phase-A, B ← **We were selected as phase-A**
- 2009-2012; Phase-C,D
- 2013; Launch using Japanese transport plane (HTV)



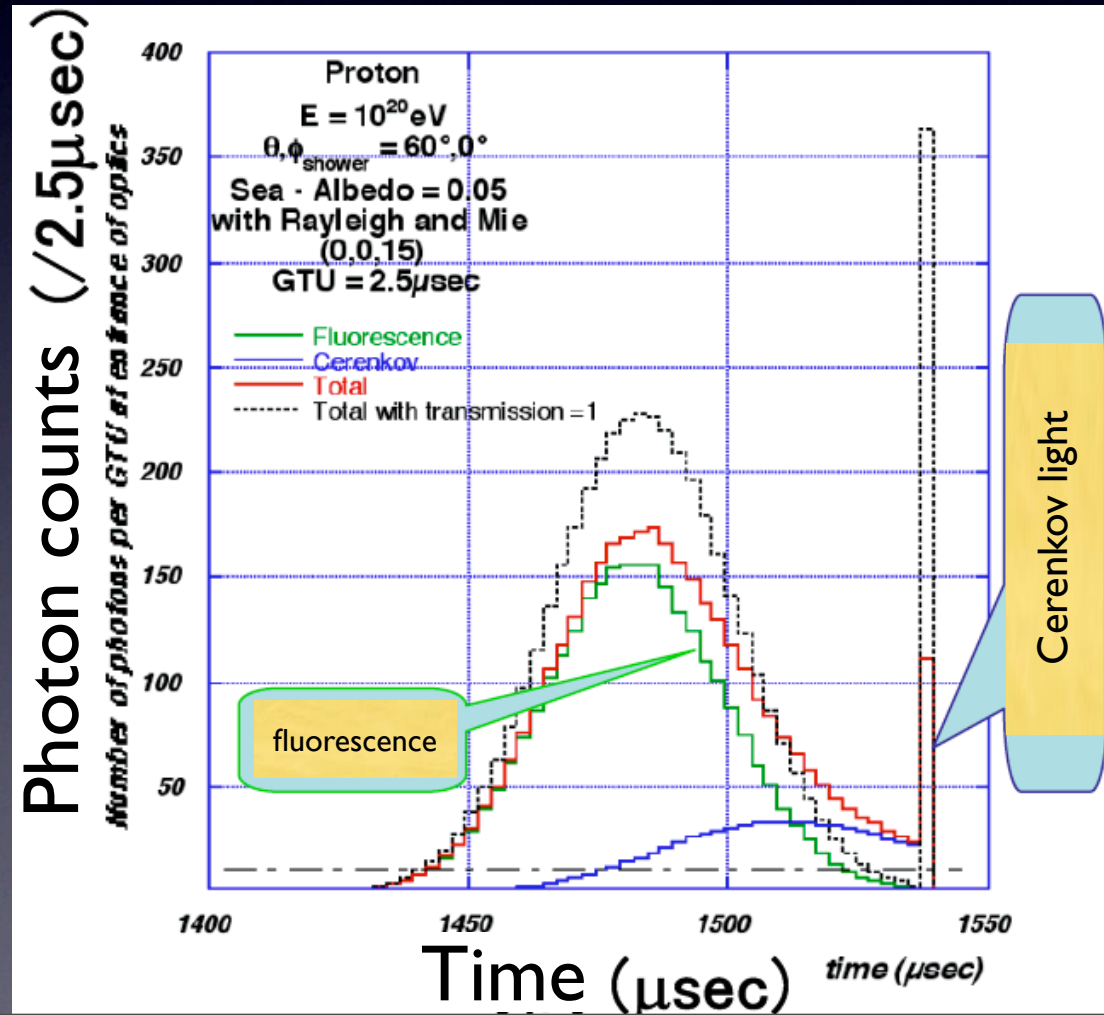
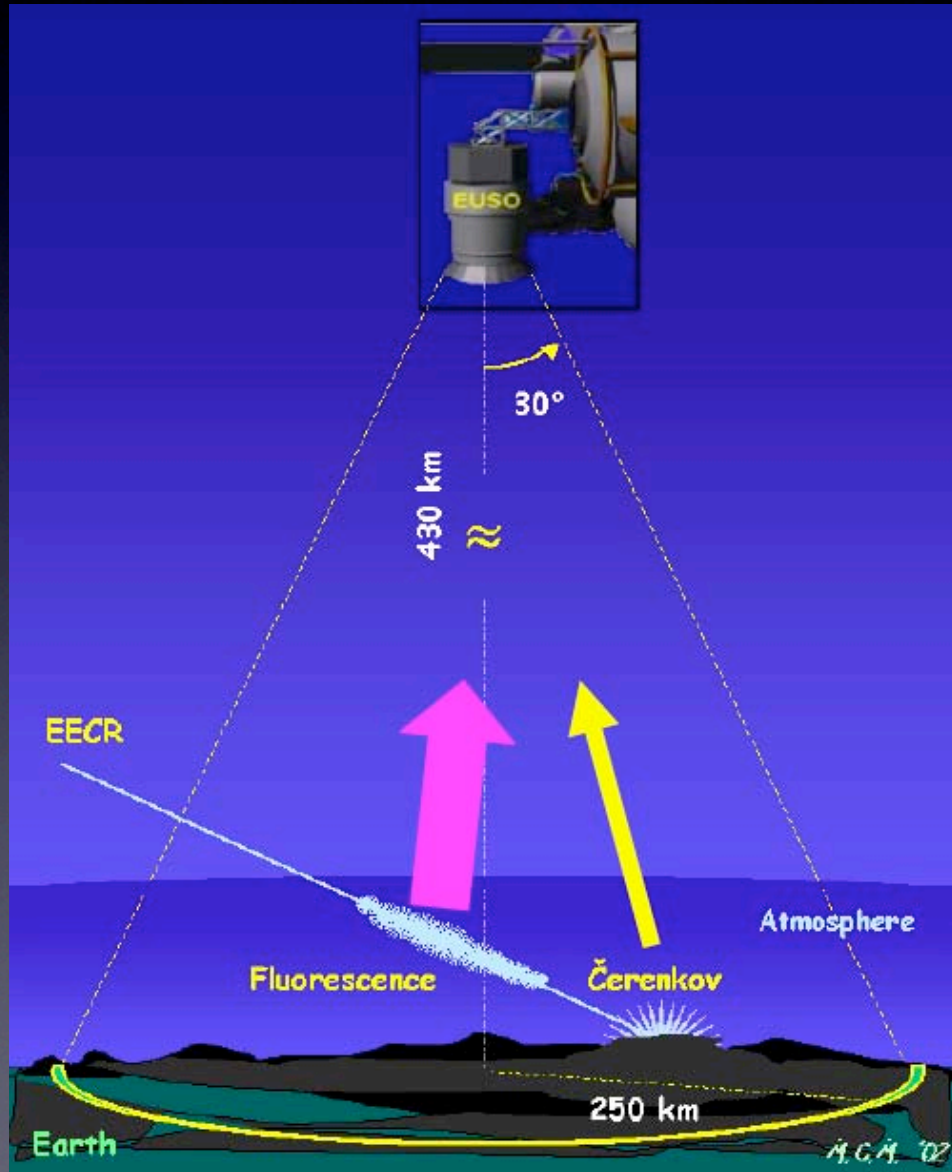
# JEM-EUSO (Japanese Extreme Universe Space Observatory)

The purpose is to distinguish the source of extreme high energy particles more than  $1.0E20$  eV originated probably from AGNs, which relates with cosmology.

The technics is to observe the extensive air-shower induced by energetic particle entered the atmosphere.

By using EUSO main telescope, 2.5 m in diameter, Evaporated  $N_2$  and  $N_2^+$  by electron shower can be observed as fluorescence, moreover Čerenkov light along the path of shower can also be detected.

- ★ FOV;  $\pm 30$  deg from height of 430km
- ★ Time resolution;  $2.5\mu\text{sec}$
- ★ Spacial resolution;  $9.75 \times 0.75$  km (0.1 deg.)
- ★ Wavelength region; 300-400 nm



# Advantages from Space

- Determination of mass distribution especially for bright-end.
  - ✓ Between meteoroids and asteroids.
- Steady monitoring for sporadic meteors.
  - ✓ EUSO has 2 view angles, 90 deg for perpendicular- and 45 deg for tilt-mode.
- Ultraviolet region without absorption.
  - ✓ Below 300nm region is absorbed by ozone layer.
- High-altitude meteors.
  - ✓ Higher than 200 km would be detected.

# Disadvantages from Space

- CCD noises caused by cosmic ray.
- Limited data down-link rate, 300 Kbps from ISS.
- Disturbed by cloud, reflected moon-light and ionospheric emissions.



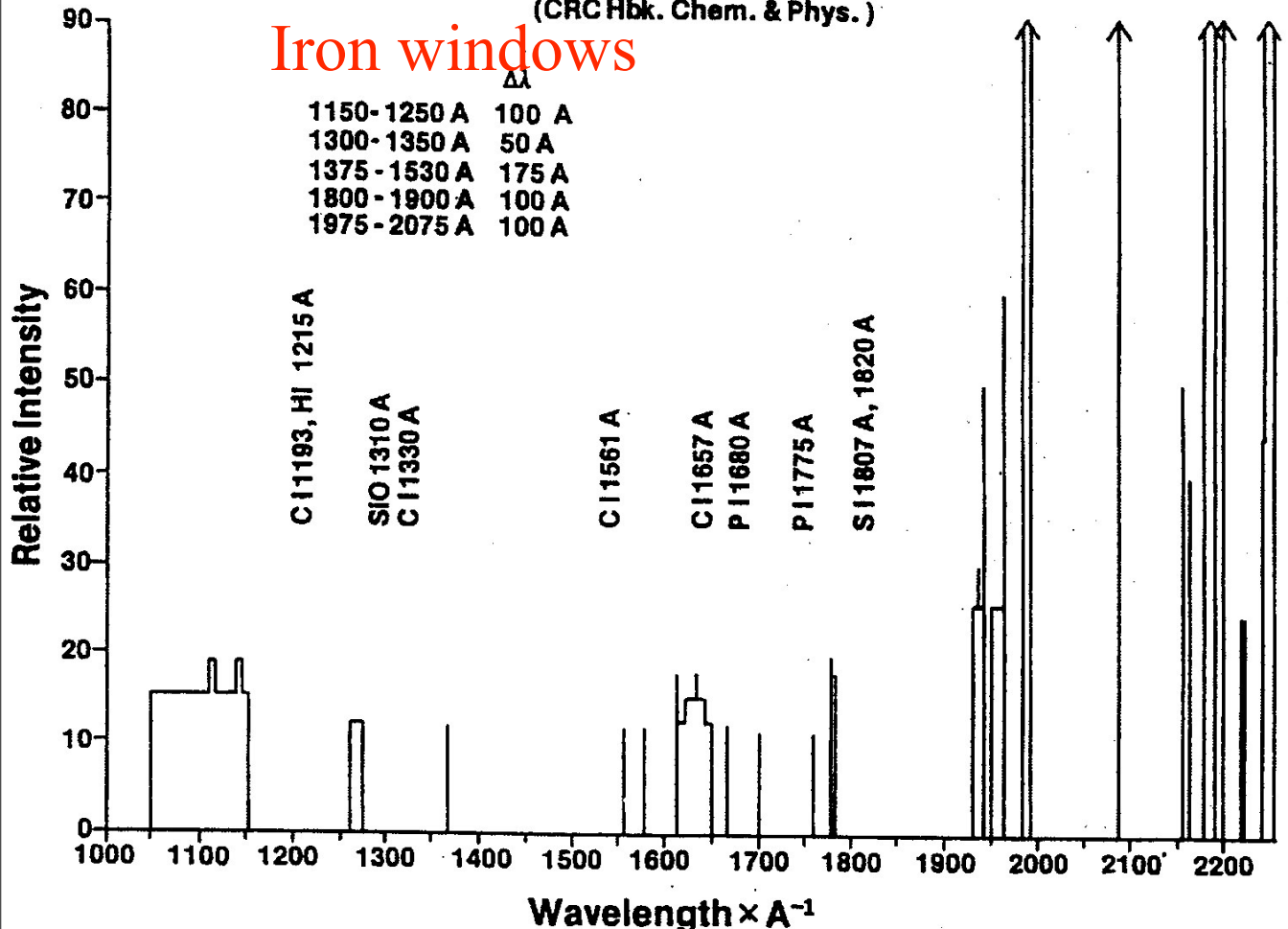
# Search for organics through Iron free windows from the space

生命起源物質(有機物, 水)の地球到来のプロセスを調べる上で, 宇宙からの紫外線領域の分光観測が有効である。

Relative Intensities of Fe Emission and Wavelengths of Lines of Astrophysical Interest  
(CRC Hbk. Chem. & Phys.)

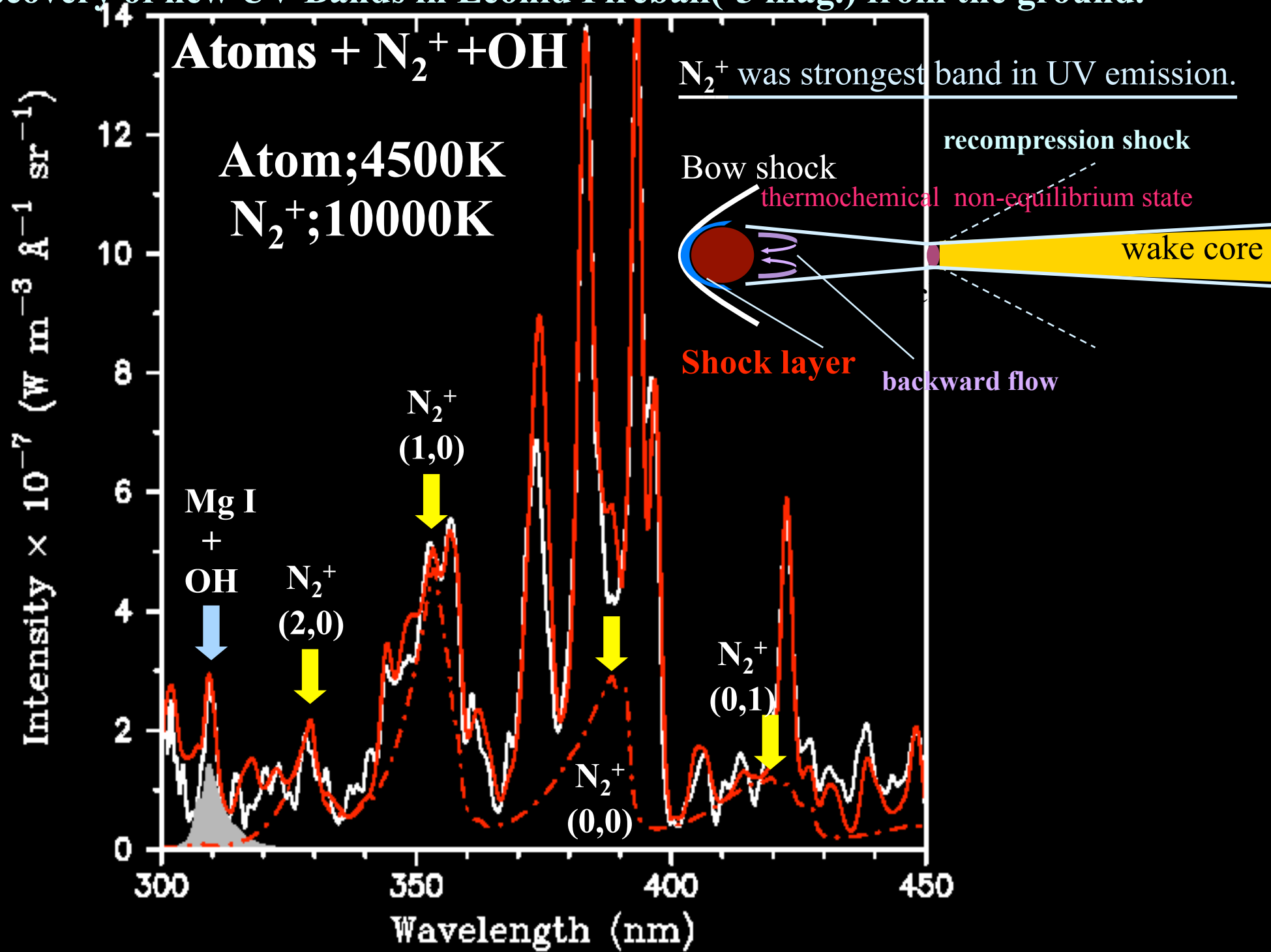
Iron windows

$\Delta\lambda$	Wavelength Range (Å)
100 Å	1150-1250 Å
50 Å	1300-1350 Å
175 Å	1375-1530 Å
100 Å	1800-1900 Å
100 Å	1975-2075 Å





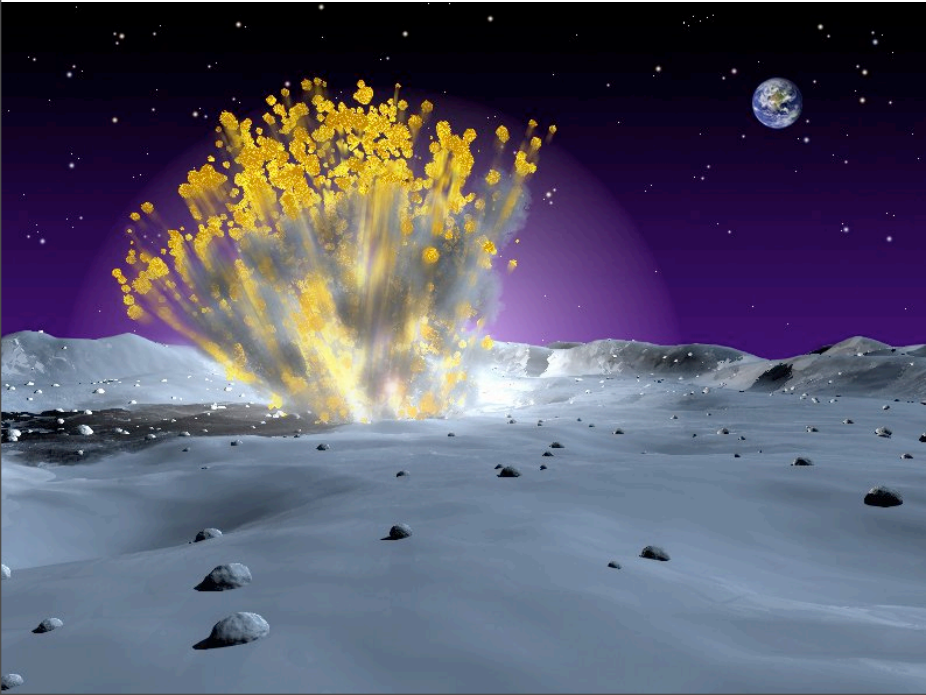
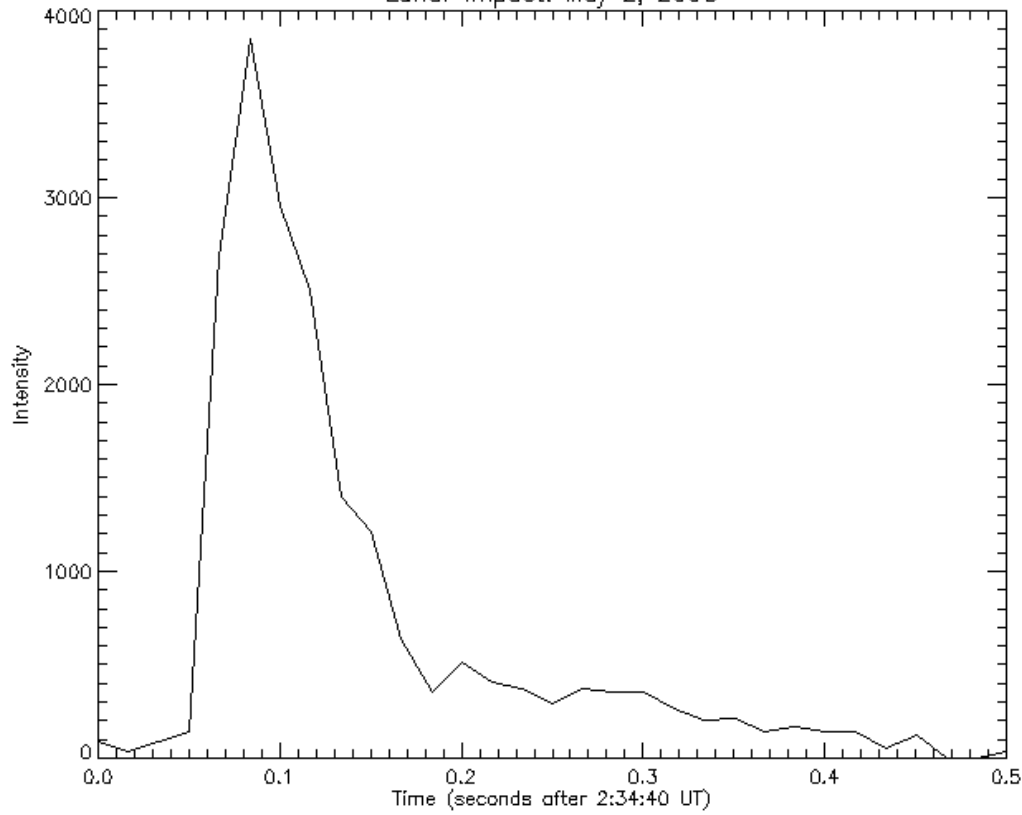
# Discovery of new UV Bands in Leonid Fireball(-5 mag.) from the ground.



# Moon Impact Flush

1

Lunar Impact: May 2, 2006

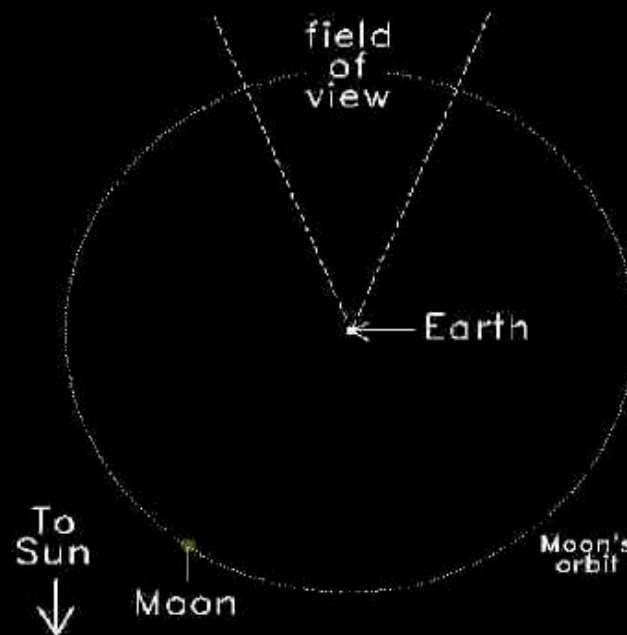


NASA-MSFS

The Video plays 7x slow motion.  
7th magnitude corresponds diameter of 25 cm and velocity of 38 km/s rocky meteoroid.

# Sodium Tail enhanced by meteoroids impacts.

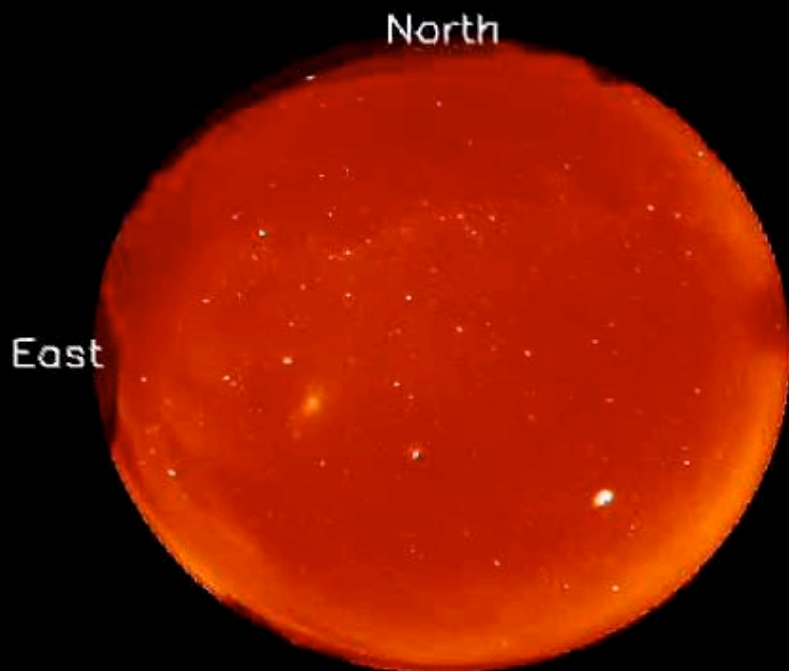
Center for Space Physics, Boston University  
Lunar Sodium Tail: Leonid Pulse



View from Earth looking away from Sun

Nov. 16, 1998  
00:00 UT

Center for Space Physics, Boston University  
Lunar Na Tail  
19 Nov 1998  
04:31:09 UT



Observations made at BU station, McDonald Observatory, Texas

## 月のダスト (Na, K)の尾 (ガスの中に塵も含まれると仮定)

- 新月の昼間に月起源のダストを検出できる可能性
- 流星群活動(Stream)による超過ダストを検出できる可能性



# Lunar impact prospects

## セレーネ月探査機と地上との同時観測可能性

Year	Year	Year	QUA	ETA	CAP	PER	STA	LEO	GEM
2005	2024	2043	22	27	24	7	4	16	13
2006	2025	2044	4	8	5	19	15	27	24
2007	2026	2045	15	18	15	0	26	7	4
2008	2027	2046	26	1	27	11	7	19	16
2009	2028	2047	6	12	9	21	18	1	27
2010	2029	2048	18	22	19	4	29	11	8
2011	2030	2049	29	3	29	14	10	22	19
2012	2031	2050	10	14	11	25	21	4	1
2013	2032	2051	21	26	23	6	2	15	12
2014	2033	2052	3	7	3	18	14	25	22
2015	2034	2053	14	17	14	28	24	6	3
2016	2035	2054	24	28	25	9	5	18	14
2017	2036	2055	5	10	7	20	16	29	26
2018	2037	2056	17	21	17	2	28	9	6
2019	2038	2057	28	2	28	13	9	20	17
2020	2039	2058	8	13	10	23	19	2	29
2021	2040	2059	19	24	21	5	1	13	10
2022	2041	2060	1	5	2	16	12	23	20
2023	2042	2061	12	16	12	27	23	5	2

Table 10c from Jenniskens (2006)

Japanese spacecraft heading for the Moon this year:



# サイエンスカフェ神戸スペシャル

(企画案)

テーマ：月と流星の激しい出会い

ゲスト：阿部新助さん(神戸大学理学研究科 助教)

伊藤真之さん(神戸大学人間発達環境学研究科 准教授)

日程：2007年7月7日(土)または21日(土) (午後)

(今回の問い合わせのご回答を考慮して決定し、

ご参加の可能性のある高校にはあらためてご連絡します)

場所：神戸大学 自然科学総合研究科3号棟

(詳細は別途ご連絡します)

地球に向かって毎日100トンも降り注ぐ宇宙ダストの一部は、地球大気への突入で「流れ星」のショーとなって私たちを楽しませてくれます。しかし、流星が降るのは地球だけではありません。最近、月にも流星が衝突していることが確認され、流星群の夜に、月面に衝突するダストの発光が、地上観測により発見されました。今回のサイエンスカフェスペシャルでは、流星-彗星-小惑星などの太陽系小天体を研究している阿部新助さんや、月周回衛星SELENEに関わっている伊藤真之さんをお招きし、地球や月に降る流星が私たちに何を教えてくれるのかについて語っていただきます。↓

また、今年の12月14日に出現のピークを迎える「ふたご座流星群」に伴う月面衝突発光は、好条件で日本から観測できます。私たちは、キャンペーンを立ち上げ、高校生のみなさんにも観測に参加していただくことを計画しています。皆さんが観測キャンペーンに積極的に参加して頂けるよう、研究者との意見交換や、高校生からの観測に関するアイデア等を出していただく場を設けたいと考えています。皆様の参加をお待ち申し上げております。↓